

І.Б. Беркутов
**Магнітоквантові ефекти у SiGe діркових гетероструктурах. I.
Ефекти перегріву**

*Фізико-технічний інститут низьких температур ім. Б.І. Веркіна НАН України, Проспект Леніна 47, м. Харків, 61103,
Україна, E-mail: Berkutov@ilt.kharkov.ua*

У квантових ямах SiGe з дірковим типом провідності реалізований ефект перегріву носіїв заряду. Роль “термометра” для визначення температури дірок виконувала амплітуда осциляцій Шубнікова – де Гааза. Аналіз часу дірково-фононної релаксації при різних температурах розраховувався на підставі рівняння теплового балансу який виявив перехід системи дірок з режиму малокутового розсіяння з залежністю $\tau_{hph} \approx T^{-5}$ в режим часткової непружності з залежністю $\tau_{hph} \approx T^{-2}$.

Ключові слова: квантова яма, осциляції Шубнікова – де Гааза, час дірково-фононної релаксації.

Стаття поступила до редакції 10.06.2009; прийнята до друку 15.12.2009.

Вступ

Властивості двовимірних електронних систем, що реалізуються в інверсійних шарах, δ -шарах, гетеропереходах і квантових ямах, своєрідні, оскільки, з одного боку, носії заряду в них є двовимірними, а, з іншого боку, це двовимірний стан що реалізується в масивній матриці напівпровідника, тобто фонони, що взаємодіють з електронами, є тривимірними. Інформацію про взаємодію носіїв заряду з фононами в інверсійних шарах, дельта-шарах і гетеропереходах при низьких температурах (~ 1 K) за деяких умов можна отримати з поведінки квантових поправок до провідності, пов'язаних з ефектами слабкої локалізації і взаємодії електронів (див., наприклад [1,2]), але найчастіше це є проблемою оскільки при таких температурах серед непружних процесів релаксації домінує носіїв заряду розсіяння.

Час електрон-фононної взаємодії можна визначити з ефекту електронного перегріву [3]. У ефекті електронного перегріву температура електронів T_e підвищується відносно температури фононів T_{ph} під впливом сильного електричного поля (струму) або інших розігрівуючих фононів. Можливість визначення часу електрон-фононної взаємодії обумовлена тим, що передача надлишкової енергії від електронної до фононної системи, навіть в умовах сильного пружного розсіяння, контролюється цим часом. Експериментально завдання зводиться до визначення величини перегріву електронного газу $\Delta T_e = (T_e - T_{ph})$ в умовах протікання сильного

струму. Для реалізації ефекту електронного перегріву необхідно забезпечити вільний відхід фононів з провідного шару в навколишній кристал (тобто хороший акустичний зв'язок провідного шару і кристала). Для інверсійних шарів, δ -шарів і гетероструктур ця вимога виконана. У цій роботі було вивчено ефект перегріву носіїв заряду у гетероструктурах $Si_{1-x}Ge_x$ з дірковим типом провідності. Амплітуда осциляцій Шубнікова –де Гааза була використана як “термометр” для вимірювання температури перегрітих дірок.

Вивчалася поведінка опору серії з п'яти зразків с концентрацією германію у каналі від 13 до 100 % при зміні температури, магнітного на електричного полів. У таблиці подано деякі характерні параметри систем. Зразки були виготовлені методом молекулярно променевої епітаксії **Ошибка! Источник ссылки не найден.** та мали наступну структуру: У зразках I та II на чисту грань (001) кремнію n-типу нарощувався шар кремнію, потім шар $Si_{1-x}Ge_x$ (~ 10 нм), що утворював квантовий канал, роздільний шар Si (~ 20 нм), шар Si допований бором з концентрацією $2,5 \times 10^{18} \text{ cm}^{-3}$ і далі покривний шар Si. У зразках III та IV роздільний шар та шар Si допований бором були відповідно $Si_{0,7}Ge_{0,3}$ та $Si_{0,37}Ge_{0,63}$. У зразку V нижче квантового каналу було розташовано шар $Si_{0,4}Ge_{0,6}$ допований бором з концентрацією $2 \times 10^{18} \text{ cm}^{-3}$ та роздільний шар $Si_{0,4}Ge_{0,6}$ (~ 5 нм). Вище каналу розташовувався шар $Si_{0,4}Ge_{0,6}$ допований бором з концентрацією $8 \times 10^{18} \text{ cm}^{-3}$ з метою утворення екрануючого потенціалу та зменшення домішкового розсіювання [5]. Провідна частина зразків мала форму подвійного хресту: тонка

($\sim 0,5$ мм завширшки) смужка з двома парами (0,05 мм завширшки) потенційних контактів на відстані 2 мм один від одного.

Діагональні ρ_{xx} та недіагональні ρ_{xy} (ρ – опір квадратної ділянки 2D газу) компоненти тензору опору були виміряні для зразків I, III та V до магнітних полів 11 Тл, а зразки II та IV – до 6 Тл (см. рис. 1). Ці залежності демонструють яскраво виражені осциляції Шубнікова – де Гааза (ШдГО), амплітуда яких з підвищенням температури, а також з ростом струму спадала.

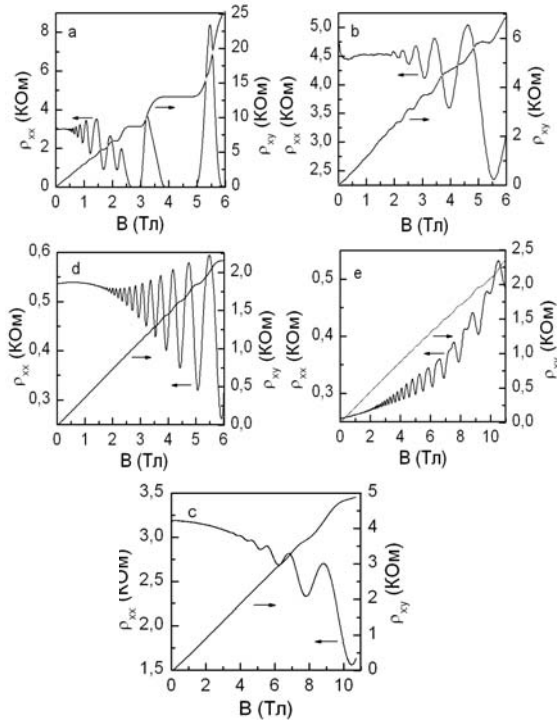


Рис. 1. Магнітопольові залежності опору ρ_{xx} і ρ_{xy} зразків: I (a), II (b), III (c), IV (d), V (e).

умовах протікання сильних струмів можна визначити з порівняння зміни амплітуди ШдГО під впливом струму з їх змінням під впливом температури. Такий аналіз було зроблено для трьох екстремумів в області магнітних полів для всіх зразків. На рис. 2 у якості прикладу показані криві, що описують зміну амплітуди ШдГО для зразка IV з квантовими номерами $\nu = 18, 20, 22$ під впливом температури (a) і струму (b). Порівняння цих залежностей дає змогу знайти T_h при кожному значенні струму.

Розрахунок часу дірково-фононої релаксації τ_{hph} було проведено на підставі аналізу рівняння теплового балансу у якому електрична потужність, що виділяється в одиниці об'єму дорівнює кількості енергії, що передається від носіїв заряду кристалу в одиницю часу: [6]

$$(kT_h)^2 = (kT_{hph})^2 + \left(\frac{6}{\pi^2}\right) \cdot (eE)^2 \cdot D \cdot \tau_{hph}, \quad (1)$$

де $D = (I/2)\nu_F^2\tau$ – коефіцієнт дифузії дірок,

$(v_F = (\hbar/m^*)(2\pi p))^{1/2}$ – фермівська швидкість, p концентрація 2D дірок), T_{ph} – температура кристалу ($T_{ph} = 33$ мК для зразка I та $T_{ph} \approx 0,3$ К для інших), $T_{hph} = (T_{ph} + T_h)/2$. Час пружного розсіювання можна визначити з формули $\rho^{-1} = pe^2\tau/m^*$ (m^* – ефективна маса дірки). Напруженість електричного поля в провідному каналі E з довжиною L та шириною a може бути знайдена із значень струму I та питомого опору ρ : $E = IR/L = I\rho/a$ ($R = \rho L/a$) [7].

На підставі розрахунку згідно рівняння (1) одержано температурна залежність τ_{hph} . На рис. 3 у якості приклада подано температурну залежність часу τ_{hph} для зразків II та IV. Для всіх вивчених структур при температурах вище ~ 1 К вона може бути апроксимована ступеневою функцією $\tau_{hph} \sim T^{-2}$ (суцільна лінія на рис. 3). Для зразка V квантові інтерференційні ефекти також були використанні для оцінки температури перегрівання дірок [2] і одержана залежність $\tau_{hph} \sim T^{-2}$.

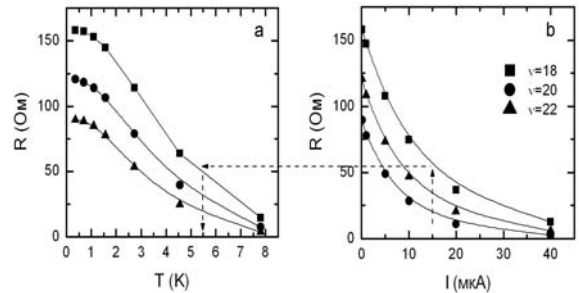


Рис. 2. Змінення амплітуди ШдГО зразка IV від температури (a) і прикладеного струму (b).

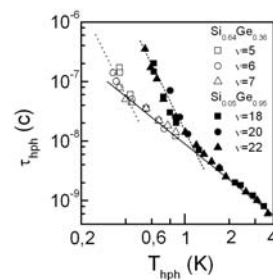


Рис. 3. Температурна залежності часу τ_{hph} для зразків II та IV. Суцільна лінія є залежність $\tau_{eph}^{-1} = 0,9 \times 10^{-9} T^2$, пунктирна лінія – $\tau_{eph}^{-1} = 0,6 \times 10^{-9} T^5$, штрихова лінія $\tau_{eph}^{-1} = 1,5 \times 10^{-8} T^5$.

Така залежність може бути інтерпретована як прояв дірково-фононої взаємодії в двовимірному випадку та доволі часто спостерігалась для тонких плівок при аналізі квантових поправок до провідності, пов'язаних з ефектами слабкої

Таблиця 1

Зразок	Квантова яма	ρ_{xx} (КОМ)	ρ_{SdH} ($\text{см}^2, 10^{11}$)	ρ_{Hall} ($\text{см}^2, 10^{11}$)	μ_{Hall} ($\text{см}^2\text{В}^{-1}\text{с}^{-1}, 10^4$)	m^* (m_0)	D ($\text{см}^2\text{с}^{-1}$)
I	Si _{0,87} Ge _{0,13}	3,04	2,0	1,89	1,16	0,24	20,7
II	Si _{0,64} Ge _{0,36}	4,78	6,7	6,42	0,22	0,24	13,9
III	Si _{0,2} Ge _{0,8}	3,17	14,6	15,8	0,11	0,16	29,3
IV	Si _{0,05} Ge _{0,95}	0,54	16,2	17,5	0,68	0,156	179
V	Ge	0,247	27,3	29,8	0,846	0,2	302

локалізації і взаємодії носіїв заряду або при аналізі експериментів їх перегріву [8,9]. Вона пояснювалась модифікацією фононного спектру в тонких плівках. При електрон-фононних процесах при низьких температурах поглинання або емісія фононів відбувається шляхом зміни компонент імпульсу електрона p_x та p_y [10]. При низьких температурах можлива ситуація, коли хвильовий імпульс теплового фонона $q_T = k_B T / \hbar$ стає достатнім для зміни хвильового вектора дірки на максимальну величину $2k_F$ (область часткової непружності), а при нижчих температурах $q_T < 2k_F$ виявляється можливим лише малокутове розсіяння дірок. В області часткової непружності дірка під час взаємодії повністю змінює свій імпульс і поглинає або емітує фоновий вектором переважно перпендикулярним границі. Із закону збереження сумарного імпульсу і енергії згідно теорії Карпуса для 2D систем впливає

залежність $\tau_{hph} \approx T^{-2}$. В області малокутового розсіяння хвильовий вектор фонона, що бере участь у взаємодії, довільний по напрямку і обмежений температурою. Розсіяння в цьому випадку подібно до малокутового розсіяння в тривимірному металі і описується залежністю $\tau_{hph} \approx T^{-5}$. [10].

Таким чином, в даній роботі проведено комплексне дослідження магнітоквантових ефектів в двовимірному дірковому газі структур з квантовою ямою на основі кремнію і германію різного складу. Дослідження ШдГО дозволили визначити енергетичні і кінетичні характеристики рухливих носіїв заряду: ефективну масу, рухливість, концентрацію, квантовий час розсіювання, тощо. При аналізі температурної залежності часу дірково-фононної релаксації був виявлений перехід системи від режиму малокутового розсіяння в режим часткової непружності, причому для всіх зразків він виявився ідентичним.

[1] D.J. Bishop, R.C. Dynes, and D.C. Tsui. Magnetoresistance in Si metal-oxide-semiconductor field-effect transistors: Evidence of weak localization and correlation // *Phys. Rev. B*, **26**(2), pp. 773-779 (1982).

[2] M. Asche, K.-J. Friedland, P. Kleinert and H. Kostial. Temperature and magnetic field dependences of the conductivity in delta -doped GaAs with electron concentrations in the dilute metallic limit // *Semicond. Sci. Technol.*, **7**(7), pp. 923-930 (1992).

[3] V.A. Shklovskij. Hot electrons in metals at low temperatures // *J. Low Temp. Phys.*, **41**(3-4) pp. 375-396 (1980).

[4] T.J. Grasly, C. P. Parry, P.J. Phillips, B.M. McGregor, R.J.H. Morris, G. Braithwaite, T.E. Whall, E.H.C. Parker, R. Hammond, A.P. Knights and P.G. Coleman. Technique for producing highly planar Si/SiO_{0,64}Ge_{0,36}/Si metal-oxide-semiconductor field effect transistor channels // *Appl. Phys. Lett.*, **74**, 1848 (1999).

[5] K.-J. Friedland, R. Hey, H. Kostial, R. Klann, and K. Ploog. New Concept for the Reduction of Impurity Scattering in Remotely Doped GaAs Quantum Wells // *Phys. Rev. Lett.*, **77**(22), pp. 4616-4619 (1996).

[6] S. Hershfield and V. Ambegaokar. Transport equation for weakly localized electrons // *Phys. Rev. B*, **34**(4) pp. 2147-2151 (1986).

[7] S.I. Dorozhkin, F. Lell and W. Schoepe. Energy relaxation of hot electrons and inelastic collision time in thin metal films at low temperatures // *Solid State Commun.*, **60** (3), pp. 245-248 (1986).

[8] R. Rosenbaum, M. Ben-Shlomo, S. Goldsmith, and R. L. Boxman Low-temperature electronic transport properties of W, Mo, Ta, and Zr thin films // *Phys. Rev. B*, **39**(14), 10009-10019 (1989).

[9] G. Dumpich and A. Carl. Anomalous temperature dependence of the phase-coherence length for inhomogeneous gold films // *Phys. Rev. B*, **43**(14), 12074-12077 (1991).

[10] V. Karpus. Energy and momentum relaxation of two- dimensional charge carriers interacting on center ionization // *Sov. Phys. Semicond.*, **20**(1), 6-9 (1986).

I.B. Berkutov

Magnetoquantum Effects in SiGe p-type heterostructures. I. Overheating Effects

*B. I. Verkin Institute for Low Temperature Physics and Engineering of NAS of Ukraine,
47 Lenin Ave., Kharkov 61103, Ukraine*

The effect of the charge carriers overheating in a two-dimensional (2D) hole gas in a SiGe quantum well was realized. The Shubnikov-de Haas oscillation amplitude was used as a “thermometer” to measure the temperature of overheated holes. Analysis of temperature dependence of the hole - phonon relaxation time which was done using analysis of heat-balance equation exhibits transition of 2D system from regime of “partial inelasticity” with dependence $\tau_{hph} \approx T^{-5}$ to conditions of small angle scattering where $\tau_{hph} \approx T^{-2}$.